

**ЭФФЕКТИВНЫЙ И КОМПАКТНЫЙ  
ИМПУЛЬСНО-ПЕРИОДИЧЕСКИЙ Cr<sup>2+</sup>:CdSe-ЛАЗЕР,  
ИЗЛУЧАЮЩИЙ В ОБЛАСТИ ДЛИН ВОЛН  
2.8 МКМ И 3.3 МКМ**

Н. Г. Захаров<sup>1</sup>, К. В. Воронцов<sup>1</sup>, Ю. Н. Фролов<sup>1</sup>, С. Д. Великанов<sup>1</sup>,  
А. В. Мухин<sup>1</sup>, А. В. Ларионов<sup>1</sup>, В. И. Козловский<sup>2</sup>, Ю. В. Коростелин<sup>2</sup>,  
Ю. П. Подмарьков<sup>2</sup>, Я. К. Скасырский<sup>2</sup>, М. П. Фролов<sup>2</sup>

*В лазере на монокристалле Cr<sup>2+</sup>:CdSe получен импульсно-периодический режим генерации на длинах волн в области 2.8 и 3.3 мкм. В области 2.8 мкм эффективность преобразования накачки в лазерное излучение составила ~28% (более 50% от поглощённой энергии). В области 3.3 мкм получена генерация на нескольких перестраиваемых узких линиях, подходящих для использования в дистанционных лидарах. Эффективность преобразования накачки в лазерное излучение в этой спектральной области составила более 17% (более 30% от поглощённой энергии).*

**Ключевые слова:** Cr<sup>2+</sup>:CdSe-лазер, лазеры ИК диапазона, лидары, твердотельные лазеры, перестраиваемые лазеры, кристаллы A<sub>2</sub>B<sub>6</sub>.

Лазерные источники, работающие в среднем ИК диапазоне спектра, представляют интерес для широкого круга практических применений в медицине и спектроскопии, в том числе при мониторинге атмосферы и дистанционном зондировании утечек углеводородов из магистральных газопроводов [1]. Для дистанционной регистрации углеводородов оптическим методом дифференциального поглощения большое внимание привлекает спектральная область в районе 3.3 мкм из-за сильных линий поглощения метана и этана и наличия окон прозрачности атмосферы. Излучение с длиной волны

<sup>1</sup> Институт лазерно-физических исследований ФГУП «РФЯЦ-ВНИИЭФ», 607190 Россия, Нижегородская обл., Саров, пр. Мира, 37; e-mail: nikitagz@rambler.ru.

<sup>2</sup> ФИАН, 119991 Россия, Москва, Ленинский пр., 53; e-mail: frolovmp@x4u.lebedev.ru.

$\sim 2.8$  мкм может быть с успехом использовано в медицинских целях (в том числе для косметических операций) или для накачки перспективных кристаллов  $\text{Fe}^{2+}:\text{ZnSe}$ , позволяющих получать генерацию в диапазоне 4–5 мкм.

Разработка эффективных дифференциальных лидаров, работающих в области 3.3 мкм, ограничивается отсутствием узкополосных перестраиваемых лазерных источников с высокой энергетикой, частотой следования и приемлемыми эксплуатационными характеристиками. Низкие мощностные параметры существующих He-Ne и перестраиваемых полупроводниковых лазеров не позволяют лидарам на их основе одновременно достигать высокой чувствительности и достаточного для авиационного применения быстродействия, определяющего пространственное разрешение всей системы. Эксплуатационные характеристики (сложность и громоздкость) параметрических генераторов среднего ИК диапазона, генераторов разностной частоты и химических лазеров ограничивают их практическое использование в лидарах. При отсутствии возможности генерации одновременно опорной и аналитической длин волн в одном дистанционном анализаторе необходимо применение сразу двух лазерных источников, что увеличивает энергопотребление и массогабаритные характеристики системы в целом.

Зондирование углеводородов практически во всех российских лазерных лидарах реализовано только по поглощению метана, присутствующего как фоновая составляющая в воздухе (особенно в заболоченных участках местности), что приводит к ложным срабатываниям. В результате существующие отечественные дистанционные лидарные системы обладают либо низкими диагностическими характеристиками, либо плохими эксплуатационными параметрами. Возможность осуществления зондирования одним лазерным источником с достаточной частотой следования импульсов и их энергетикой, а также анализ наличия углеводородов по двум газам (этана и метана) позволит достичь высоких эксплуатационных характеристик лидара и его помехозащищенности [1, 2].

Перспективной активной средой для создания эффективного и компактного твердотельного лазерного источника, работающего в спектральной области  $\sim 3.3$  мкм, является кристалл  $\text{Cr}^{2+}:\text{CdSe}$ . К настоящему времени на кристалле  $\text{Cr}^{2+}:\text{CdSe}$  продемонстрирована лазерная генерация с широкой полосой перестройки (в диапазоне 2.26–3.61 мкм в моноимпульсном [3] и 2.35–3.45 мкм в непрерывном режимах [4]), захватывающей область 3.3 мкм. В максимуме полосы усиления (2.6 мкм) получена непрерывная лазерная генерация мощностью до 1.7 Вт и достигнут дифференциальный КПД по поглощенной мощности накачки свыше 50% [5]. Ранее в работе [6] в импульсно-периодическом ре-

жиме генерации (1 кГц) было получено 815 мВт средней мощности на длине волны 2.6 мкм, однако при перестройке спектра в длинноволновую область мощность генерации существенно падала (50 мВт для 2.9 мкм).

Целью настоящей работы было исследование работы  $\text{Cr}^{2+}:\text{CdSe}$ -лазера в импульсно-периодическом режиме на длине волны  $\sim 2.8$  мкм и в спектральном диапазоне 3.3 мкм с одновременной генерацией нескольких узких линий, подходящих для эффективного использования в дифференциальных лидарах.

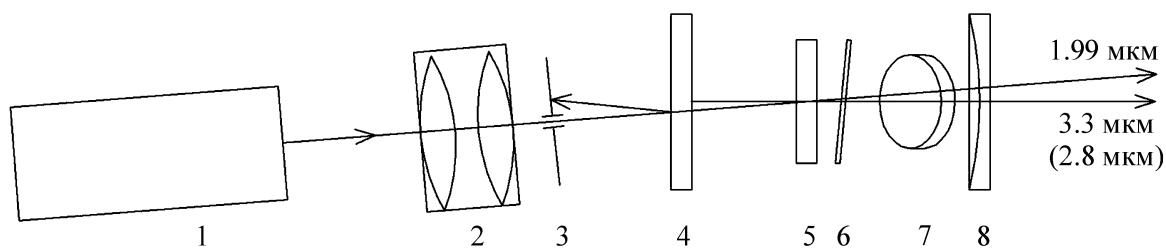


Рис. 1: Схема экспериментальной установки: 1 – Тт:YAlO<sub>3</sub>-лазер; 2 – фокусирующая система; 3 – диафрагма; 4 – входное плоское зеркало; 5 – активный элемент из Cr<sup>2+</sup>:CdSe; 6 – эталон Фабри-Перо; 7 – интерференционно-поляризационный фильтр; 8 – выходное зеркало.

Оптическая схема экспериментальной установки представлена на рис. 1. Резонатор Cr<sup>2+</sup>:CdSe-лазера был образован входным дихроичным плоским зеркалом (4), пропускавшим 95% излучения накачки и имевшим отражение на рабочей длине волны 99%, и выходным сферическим ( $R = 20$  см) зеркалом (8). Для получения генерации в различных диапазонах длин волн применялись зеркала резонатора с соответствующими спектральными характеристиками. Для генерации в области 2.8 мкм использовалось выходное зеркало с коэффициентом отражения 65% в диапазоне 2.7–2.9 мкм. Генерация в области 3.3 мкм обеспечивалась другим выходным зеркалом, имеющим коэффициент отражения 80% в диапазоне 3.3–3.5 мкм. Кроме того, для исследования возможности управления шириной спектра генерации за счёт параметров резонатора в экспериментах применялся набор более узкополосных входных и выходных зеркал, уровень максимального коэффициента отражения которых оставался практически неизменным (небольшое различие определялось точностью изготовления зеркал). Резонатор имел длину  $\sim 7.5$  см.

Для перестройки и сужения спектра генерации применялся интерференционно-поляризационный фильтр (7), представляющий собой плоскопараллельную саффи-

ровую пластинку толщиной 5 мм, вырезанную параллельно оптической оси. Для функционирования фильтра необходимо, чтобы излучение генерации было линейно-поляризованным, поэтому фильтр устанавливался под углом Брюстера.

Для выделения нескольких отдельных узких линий генерации с необходимыми длинами волн в резонатор дополнительно устанавливался эталон Фабри–Перо (плоскопараллельная пластина из  $\text{CaF}_2$  толщиной 1.6 мм), имеющий область свободной дисперсии  $\sim 2.45$  нм.

Лазерный активный элемент (АЭ) (длиной 4.5 мм, толщиной 1.5 мм и шириной 9 мм) был изготовлен из монокристалла  $\text{Cr}^{2+}:\text{CdSe}$ , выращенного на монокристаллической заправке физическим транспортом в инертном газе из паровой фазы с одновременным легированием в процессе роста по технологии, разработанной для выращивания легированных монокристаллов соединений  $\text{A}_2\text{B}_6$  [7]. Определенная по спектру поглощения концентрация ионов  $\text{Cr}^{2+}$  в исследуемом кристалле составляла  $1.1 \cdot 10^{18} \text{ см}^{-3}$ . Коэффициент поглощения на длине волны накачки составлял  $3 \text{ см}^{-1}$ .

На рабочие поверхности АЭ были нанесены просветляющие покрытия для излучения накачки и генерации с остаточным отражением не более 1.5% от одной грани. Направление оптической оси кристалла (кристалл имел гексагональную структуру) с точностью  $4^\circ$  совпадало с осью резонатора. АЭ через индиевую фольгу был закреплен в медном радиаторе, без принудительного охлаждения.

Накачка  $\text{Cr}^{2+}:\text{CdSe}$ -лазера осуществлялась излучением с длиной волны  $\sim 1.99$  мкм импульсно-периодического  $\text{Tm}:\text{YAlO}_3$ -лазера с диодной накачкой. Частота следования импульсов варьировалась от 2 до 5 кГц, а падающая на кристалл  $\text{Cr}^{2+}:\text{CdSe}$  энергия импульса накачки достигала 2.4 мДж. Характерная длительность импульсов накачки составляла 150 нс при частоте следования импульсов накачки 2 кГц. Пучок  $\text{Tm}:\text{YAlO}_3$ -лазера через входное зеркало фокусировался в АЭ в пятно диаметром  $\sim 0.7$  мм. Направление пучка накачки составляло небольшой угол ( $\sim 1.5^\circ$ ) с оптической осью резонатора  $\text{Cr}^{2+}:\text{CdSe}$ -лазера. При этом внутри кристалла пучок накачки имел угол с осью резонатора  $< 40'$ , что обеспечивало хорошее согласование объемов накачки и лазерной моды. В то же время использование такой схемы позволило исключить оптическую связь резонаторов лазера накачки и  $\text{Cr}^{2+}:\text{CdSe}$ -лазера.

В условиях наших экспериментов поглощенная кристаллом энергия накачки составляла  $\sim 50\%$  от источника накачки.

На рис. 2 приведена зависимость энергии генерации  $\text{Cr}^{2+}:\text{CdSe}$ -лазера  $E_{\text{out}}$  от энергии накачки, падающей на кристалл. Дифференциальный КПД лазера  $\eta$ , определен-

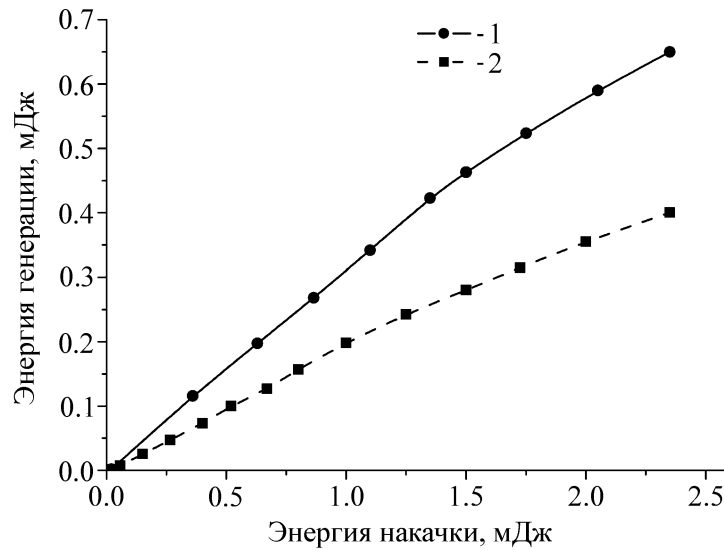


Рис. 2: Зависимости энергии генерации  $\text{Cr}^{2+}:\text{CdSe}$ -лазера от энергии накачки для диапазонов длин волн 2.8 мкм (1) и 3.3 мкм (2).

ный по наклону проведенной через экспериментальные точки прямой, для диапазона длин волн 2.8 мкм при энергии накачки до 1.3 мДж составил 31%, а для диапазона длин волн 3.3 мкм –  $\eta = 20\%$ . При больших энергиях накачки наблюдалось снижение эффективности лазера, по-видимому, связанное с тепловыми эффектами, а также рас-согласованием моды резонатора с областью накачки за счёт изменения расходимости пучка генерации  $\text{Tm}:\text{YAlO}_3$ -лазера с увеличением энергии. Пороговая энергия накачки составила 9 мкДж, что достигалось благодаря высокой импульсной мощности накачки. Максимальная энергия  $\text{Tm}:\text{YAlO}_3$ -лазера была ограничена величиной 2.4 мДж. При этой энергии накачки для диапазонов длин волн 2.8 и 3.3 мкм максимальные значения  $E_{\text{out}}$  составили 0.65 и 0.4 мДж, а эффективности преобразования накачки – 28% (более 50% от поглощённой энергии) и 17% (более 30% от поглощённой энергии), соответственно.

Длительность импульсов генерации зависела от энергии накачки и, соответственно, длительности импульсов накачки. Характерная длительность импульсов генерации составляла 100 нс. Импульсная мощность в диапазоне генерации 2.8 мкм достигала 6.5 кВт, а в области 3.3 мкм – 4 кВт.

Характерный спектр генерации  $\text{Cr}^{2+}:\text{CdSe}$ -лазера в области 3.3 мкм в отсутствие внутрирезонаторных селектирующих элементов представлен на рис. 3. В зависимости от спектральных характеристик зеркал ширина линии генерации варьировалась от 20

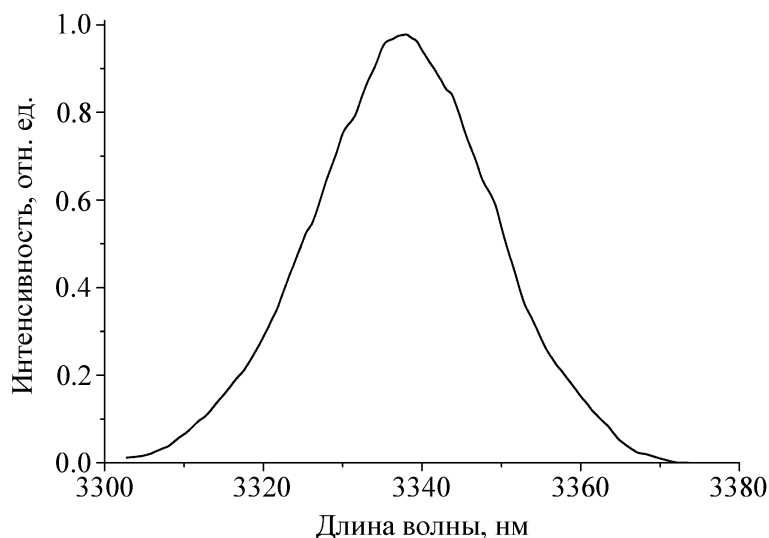


Рис. 3: Характерный спектр  $\text{Cr}^{2+}:\text{CdSe}$ -лазера в области 3.3 мкм в отсутствие внутррезонаторных селективирующих элементов (спектральное разрешение 1.5 нм).

до 100 нм. Следует отметить высокую чувствительность  $\text{Cr}^{2+}:\text{CdSe}$ -лазера к внутррезонаторным потерям, связанным с линиями поглощения атмосферных газов (например, паров воды). Для устранения изрезанности спектра генерации была осуществлена продувка азотом полости резонатора, позволившая практически полностью устранить провалы в линии генерации источника.

С помощью интерференционно-поляризационного фильтра и эталона Фабри–Перо была реализована генерация на нескольких перестраиваемых линиях, имеющих полуширину менее 0.5 нм (предельное разрешение спектральной аппаратуры). Все линии находились в области прозрачности атмосферы с минимальным поглощением паров воды. Далее, две из наиболее интенсивных линий были настроены на линии поглощения этана 3336.8 нм и метана 3334.3 нм. В качестве реперной линии была взята интенсивная линия 3331.8 нм, не совпадающая с линиями поглощения указанных углеводородов. Спектр генерации и линии поглощения метана и этана представлены на рис. 4. Этот результат свидетельствует о перспективности использования данного режима в лидарах, настроенных на обнаружение природного газа, основными составляющими которого являются метан и этан.

Таким образом, в данной работе в лазере на основе кристалла  $\text{Cr}^{2+}:\text{CdSe}$  с накачкой импульсно-периодическим излучением  $\text{Tm}:\text{YAlO}_3$ -лазера получена эффективная генерация в диапазонах длин волн 2.8 и 3.3 мкм. Лазер мог одновременно работать на

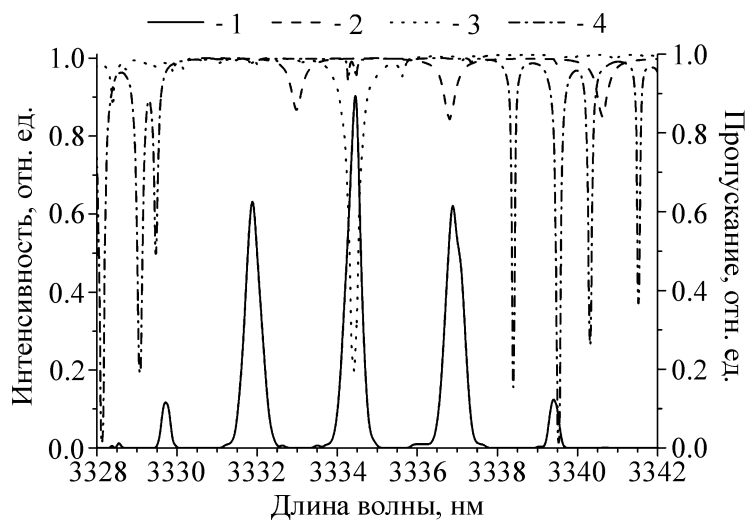


Рис. 4: (1) – спектр генерации  $\text{Cr}^{2+}:\text{CdSe}$ -лазера с внутриврезонаторной селекцией (спектральное разрешение 0.5 нм). (2), (3), (4) – спектры пропускания этана (2), метана (3) и паров воды (4), соответственно.

линиях поглощения метана, этана и линии, свободной от поглощения в атмосфере. Исследованный лазер, генерирующий в диапазоне 3.3 мкм, обладает высокой эффективностью (относительно потребляемой электрической мощности  $\sim 2\%$ ), достаточной энергетикой и частотой следования импульсов, компактностью и простотой оптической схемы. Предложенный вариант лазерного источника потенциально превосходит все известные излучатели, применяемые в современных российских лидарах, по ряду параметров, таких как мощностные и весогабаритные и пр., что делает его перспективным источником для систем дистанционной диагностики утечек углеводородов из газопроводов с размещением на легкомоторном летательном аппарате.

Работа выполнена при поддержке гранта Президента Российской Федерации МК-2896.2013.2.

#### ЛИТЕРАТУРА

- [1] В. О. Петухов, В. А. Горобец, Ю. М. Андреев, Г. В. Ланский, Квантовая электроника **40**(2), 173 (2010).
- [2] M. V. Kabanov, Yu. M. Andreev, P. P. Geiko, Proc. II Int. Conf. Reduce of Metane Mitigation, Novosibirks, 2000 (Novosibirsk State Techn. Univ., 2000), p. 5.
- [3] В. А. Акимов, В. И. Козловский, Ю. В. Коростелин и др., Квантовая электроника **38**(3), 205 (2008).

- [4] М. А. Губин, А. Н. Киреев, Ю. В. Коростелин и др., Краткие сообщения по физике ФИАН **38**(7), 34 (2011).
- [5] В. И. Козловский, Ю. В. Коростелин, А. И. Ландман и др., Квантовая электроника **40**(1), 7 (2010).
- [6] J. McKay, K. L. Schepler, G. C. Catella, Optics Letters **24**, № 22, 1575 (1999).
- [7] V. A. Akimov, M. P. Frolov, Yu. V. Korostelin, et al., Phys. Status Solidi C **3**, 1213 (2006).

Поступила в редакцию 11 февраля 2015 г.